

## ODBORNÉ ČLÁNKY

- [25] Lant, T. – Robinson, D. L. – Spafford, B. – Storesund, J.: Review of weld repair procedures for low alloy steels designed to minimise the risk of future cracking. In: 2<sup>nd</sup> HIDA Conference, Stuttgart, 2000
- [26] Wortel van H.: State of the art of repair welding in the Netherlands. IIW WG Creep. State of the art of repairs of creep damaged components. May 31, 1994
- [27] Lundin, C. D. et al.: The efficiency of the utilization of low carbon Cr-Mo weld metal for repairs in Cr-Mo vessels and piping. Submitted to The Committee on Welds Materials Division Pressure Vessel Research Council. January 1994
- [28] Wu, R. – Storesund, J. – Sandstrom, R. – von Walden, E.: Influence of post weld heat treatment on creep properties of 1Cr0.5Mo welded joints. Mat. at High Temperatures, Vol. 12, 1993, č. 4, s. 269 – 276
- [29] Rotvel, F. – Sampietri, C. – Verelst, L. – Wortel van, H. – Zhi, L. Y.: Header integrity assessment. In: Proc. of Baltica IV conf. on Plant Maintenance for Managing Life and Performance. VTT symposium 184, Edited by Hietanen, S. & Auerkari, 1998, s. 201 – 212

# Vplyv ochranného plynu a tvaru hrotu volfrámovej elektródy na geometriu zvarových spojov austenitických ocelí

Influence of shielding gas and tungsten electrode tip profile on the weld geometry of austenitic steels

GÁBOR VÁGVÖLGYI – JÁNOS DOBRÁNSZKY – LÁSZLÓ GYURA – LÁSZLÓ REICHARDT

**Výsledky výskumu vplyvu dvoch parametrov na tvar závaru pri zváraní volfrámovou elektródou v ochrane inertného plynu • Skúmané vstupné parametre: zloženie ochranného plynu s prímesou vodíka a hélia a uhol hrotu volfrámovej elektródy, konkrétnie 15°; 22,5°; 30°; 45°; 90° a 180° • Účinok čistého argónu a prímesí 2 %; 5 %; 6,5 % vodíka, resp. 50 % hélia • Významné zväčšenie hlbky závaru prímesou vodíka, ako aj hélia • Použitie zmesi plynov – vhodný prostriedok na zhotovenie jednostranných zvarov s plným závarom nepristupných z dvoch strán • Zväčšenie šírky závaru prímesou hélia • Výrazné zväčšenie hlbky závaru, už pri objemovom množstve vodíka 2 % • Materiál elektródy WL15 legovaný oxidom lantánu, priemer 2,4 mm • Skúšky naváraním húsenice na austenitickú ocel AISI 304L • Vyhodnocovanie tvaru návaru pomocou digitálnych fotografií metalografických výbrusov a stanovenie šírky, hlbky a prierezu závaru • Výskum spoľne pôsobiacich parametrov**

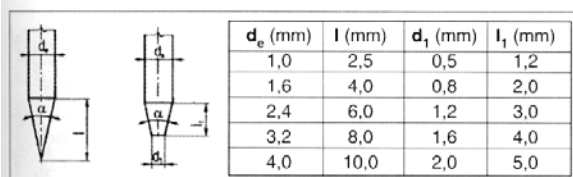
*Research results of the effect of two parameters on the shape of weld penetration in TIG welding were outlined. The input parameters: chemical composition of shielding gas with hydrogen and helium admixture and tungsten electrode angle of cone namely 15°; 22.5°; 30°; 45°; 90° and 180°, the effect of pure argon and 2%; 5%; 6.5% hydrogen or 50% helium admixtures, significant penetration depth increase by hydrogen as well as helium admixture, use of gas mixtures – suitable means for fabrication of single-sided welds with full penetration inaccessible from both sides, increase of penetration width by helium admixture as well as expressive penetration depth increase already at 2% hydrogen voluminous content and WL 15 electrode material alloyed by lanthanum oxide 2.4 mm in diameter were studied. The tests of bead deposition on AISI 304L austenitic steel were carried out. The weld overlay shape was evaluated by digital photographs of etched metallographic specimens and the penetration width, depth and cross-section were assessed. The interacting parameters were studied.*

V inžinierskej praxi sa stále častejšie stretávame so základnými materiálmi austenitickej štruktúry. Austeniticke ocele sa používajú od začiatku XX. storočia a ich používanie stále rastie. V r. 2003 svetová producia ocele bola 900 miliónov ton, z toho 20 miliónov ton austenitickej ocele (2,22 %). Pri spracovaní austenitickej oceli má osobitný význam oblúkové zváranie volfrámovou elektródou v ochrane inertného plynu – TIG. Pri TIG zváraní majú veľký význam vlastnosti ochranných plynov a volfrámových elektród.

G. Vágvölgyi, Kasamas Hungária Hezesztéchnológiai Kft., Szekszárd – J. Dobránszky, MTA – BME Fémtechnológiai Kutatócsoport, Budapest, L. Gyura – L. Reichardt, Linde Gáz Magyarország Rt., Budapest, Maďarsko / Hungary

Veľké podniky, ktoré tradične spracovávajú austeniticke ocele, používajú ako ochranný plyn nielen Ar, ale aj iný plyn alebo zmes plynov. Často nepoužívajú iný plyn ani na ochranu koreňa. Hlavnou príčinou tohto stavu môže byť, že nie sú prístupné vhodné informácie, príručky alebo učebnice, ktoré by uvádzali odporúčané parametre zvárania pre iné plynov. Použitie iných ochranných plynov vyžaduje teda od zváracích inžinierov ochotu experimentovať, k čomu sú potrebné vhodné podmienky.

Podobné problémy sa vyskytujú pri výbere typu volfrámovej elektródy a tvaru hrotu elektródy. Aj tu chýbajú vhodné informácie a zväčša ich možno nájsť len v cudzojazyčnej literatúre. Výber elektródy sa robí podľa zvyklostí a nie s uvážením podmienok použitia.



Obr. 1. Odporúčané rozmery a otupenie hrotov W elektród (v obidvoch prípadoch  $\alpha = 30^\circ$  až  $35^\circ$ )

Fig. 1. Recommended dimensions and tapering of W electrode tips (in both cases  $\alpha = 30^\circ$  up to  $35^\circ$ )

V článku sa posudzuje vplyv spomenutých parametrov s cieľom pomôcť odborníkom v každodennej praxi.

### Oblúkové zváranie austenitických ocelí volfrámovou elektródou v inertnom plyne

Oblúkové zváranie volfrámovou elektródou v ochrane argónu Ar bolo objavené v r. 1936 a rozšírilo sa po II. svetovej vojne (na označenie spôsobu zvárania sa používa viacero skratiek, podľa STN EN 24063 je to TIG zváranie). Dnes pod týmto označením rozumieme aj zváranie v ochrane iných inertných plynov [1]. Na zapálenie oblúka používajú náročnejší výrobcovia výlučne vysokofrekvenčné zapaľovacie zariadenie [2]. Zariadenie je pripojené paralelne k okruhu zváracieho prúdu a napája elektródnu vysokofrekvenčným vysokým napäťom. Napätie 2 až 5 kV, bez ohľadu na druh ochranného plynu, je dostatočné na to, aby spôsobilo elektrický výboj na vzdialenosť až 50 mm. Výboj ionizuje prostredie a vytvára podmienky na vznik zváracieho oblúka [3].

Zváranie TIG (141) v porovnaní s ručným oblúkovým zváraním (111) a zváraním MIG (131) je pomalšie a drahšie. Príčinou je vysoká koncentrácia zdroja tepla, vyššia cena ochranných plynov a mzdové náklady zaškolených zváračov. Konkurencieschopnosť TIG spôsobu zvárania vyplýva z kvality zvarov (zvary vyžadujú minimálnu povrchovú úpravu), širokého rozsahu zváriateľných hrúbok a druhov materiálov. Osobitné problémy zvárania austenitických ocelí sú tie iste [4 až 8]:

■ Hrozí nebezpečenstvo vzniku veľkých tepelných deformácií, zvyškových napäť a kryštalizačných trhlín

v dôsledku malej koncentrácie tepelného príkonu a zlej tepelnej vodivosti austenitického materiálu. Preto treba zmeniť tepelný príkon, čo môže viest' k použitiu viacvrstvových zvarov a nutnosti použitia zvarových úkosov aj pri tenkých plechoch.

- Nižší tepelný príkon spôsobí pomalšie chladnutie, čím sa zvyšuje nebezpečenstvo vzniku škodlivých štruktúrnych fáz.
- Pre zváranie vysokolegovaných ocelí je charakteristické, že povrchové napäťa možno ovplyvniť len s obsahom kremika Si.
- Na zabranenie nežiaducej oxidácie povrchu a vyhorenia legúr treba chrániť zvar nielen zo strany oblúka, ale aj koreňovú oblasť zvaru.
- Osobitnú pozornosť treba venovať materiálom nástrojov a prípravkov použitých pri spracovávaní austenitických ocelí (napr. drôtenými kefami, rezacím kotúcom atď.). Podľa možností treba oddeliť časť dielne, kde sa spracovávajú austenitické ocele. Časti dopravných a skladovacích zariadení treba zakryť drevom, plastom alebo plechom z austenickej ocele. Treba zabrániť každému styku dvoch druhov kovov.
- Dlhší čas zvárania predlžuje aj čas pôsobenia dymov a splodín na zvárača.

### Materiály volfrámových elektród

Pri TIG zváraní horí oblúk medzi výrobkom a volfrámovou elektródou, ktorá má dve úlohy: privádzat' prúd a koncentrovať a smerovať stĺpec oblúka na miesto zvárania. Materiálom elektródy býva čistý volfrám alebo volfrám legovaný oxidom kovov. Nakoľko volfrámové elektródy sa zhotovujú sintrováním, primiešanie potrebných oxidov kovov nepredstavuje väčší problém. Prehľad bežných typov elektród je v tab. 1.

Legovanie je potrebné z dvoch dôvodov:

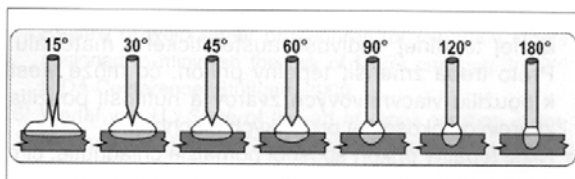
- oxidy prvkov vzácnych zemí zvyšujú prúdovú a tepelnú zatažiteľnosť elektród (bod tavenia čistého W je  $3410^\circ\text{C}$ , žhaviaca teplota elektród legovaných La sa blíži k  $4200^\circ\text{C}$ ),
  - oxidy znižujú výstupnú energiu emisie elektrónov.
- V dôsledku toho sa významne zlepší zapaľovanie

Tab. 1. Charakteristické údaje volfrámových zváracích elektród

Tab. 1. Characteristic data about tungsten welding electrodes

Označenie / Designation	Typ a množstvo oxida (%) / Type and amount of oxide (%)	Farebné označenie / Colour designation	Druh prúdu / Current type	Norma / Standard
WP	–	zelené / green	AC	EN 26848
WT4	0,35 – 0,55 $\text{ThO}_2$	tmavomodré / dark blue	DC	EN 26848
WT10	0,90 – 1,20 $\text{ThO}_2$	žlté / yellow	DC	EN 26848
WT20	1,80 – 2,20 $\text{ThO}_2$	červené / red	DC	EN 26848
WT30	2,80 – 3,20 $\text{ThO}_2$	fialové / violet	DC	EN 26848
WT40	3,80 – 4,20 $\text{ThO}_2$	pomarančové / orange	DC	EN 26848
WZ3	0,15 – 0,50 $\text{ZrO}_2$	hnedé / brown	AC	EN 26848
WZ8	0,70 – 0,90 $\text{ZrO}_2$	biele / white	AC	EN 26848
WC20	1,80 – 2,20 $\text{CeO}_2$	sivé / grey	DC	EN 26848
WL10	0,90 – 1,20 $\text{LaO}_2$	čierne / black	AC / DC	EN 26848
WL15	1,30 – 1,70 $\text{LaO}_2$	zlaté / golden	AC / DC	AWS A5.12
WL20	1,80 – 2,20 $\text{La}_2\text{O}_3$	svetlomodré / light blue	AC / DC	ISO 6848
WS2	zmes oxidov / mixture of oxides	tyrkysové / turquoise	AC / DC	–
WY20	1,80 – 2,20 $\text{YO}_2$	modré / blue	AC / DC	ISO 6848
WX	1,00 – 4,00 % zmes oxidov / mixture of oxides	žltozelené / yellow-green	AC / DC	AWS A5.12

## ODBORNÉ ČLÁNKY



Obr. 2. Vplyv uhla  $\alpha$  hrotu W elektrody na tvar oblúka a na tvar závaru pri zváraní spôsobom „mikro – TIG“ [10]

Fig. 2. Effect of angle  $\alpha$  of W electrode tip on arc shape and penetration shape in micro-TIG welding [10]

a stabilita oblúka. Volfrámové elektródy rôzneho chemického zloženia majú rozdielne vlastnosti z hľadiska zvárania [9].

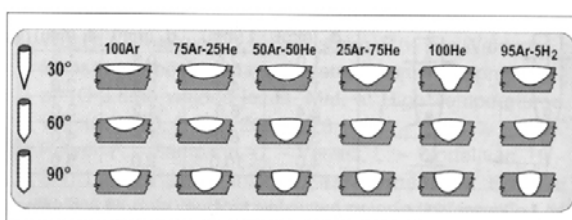
**Nelegované W elektródy** majú nízku žhaviacu teplotu ( $\sim 3400^{\circ}\text{C}$ ) a používajú sa prednostne na zváranie Al; Mg a ich zliatin.

**W elektródy legované oxidom tória Th** boli najviac používané elektródy na zváranie nízko a vysokolegovaných ocelí, medi, titánu a ďalších kovov. Používa sa pri nich jednosmerný prúd. Ich prúdová zaťažiteľnosť je asi o 20 % väčšia ako čistých nelegovaných W elektród, majú vyššiu odolnosť proti opotrebeniu. Žhavacia (pracovná) teplota je asi  $4000^{\circ}\text{C}$ . Pre rádioaktivné vlastnosti tória sa tieto elektródy nemohli používať na zváranie v jadrovej energetike, dnes pre škodlivý vplyv na zdravie je použitie Th zakázané.

**W elektródy legované oxidom zirkónia** sa používajú najmä pri zváraní striedavým prúdom, ale možno ich použiť aj pri zváraní jednosmerným prúdom. Pri zváraní ľahkých kovov sú odolnejšie proti opotrebeniu ako nelegované W elektródy. Vyznačujú sa dobrým zapalovalením oblúka. Žhavacia teplota je  $\sim 3800^{\circ}\text{C}$ .

**W elektródy legované oxidom céru** sa používajú pri zváraní jednosmerným prúdom nízkej intenzity.

**W elektródy legované oxidom lantánu** majú vynikajúce vlastnosti, podobne ako pri legovaní tóriom, ale



Obr. 3. Vplyv obsahu argónu Ar, hélia He a vodíka H<sub>2</sub> (%) pri rôznom uhle  $\alpha$  hrotu W elektrody na geometrické charakteristiky závaru/húsenice

Fig. 3. Effect of argon Ar, helium He and hydrogen H<sub>2</sub> content (%) at different angle  $\alpha$  of W electrode tip on geometry characteristics of penetration/bead

možno ich použiť aj pri zváraní striedavým prúdom. Majú dlhú životnosť a lantán nie je rádioaktívny, ani zdraviu škodlivý. Očakáva sa, že v blízkej budúcnosti nahradí dnes najrozšírenejšie elektródy. Žhavacia teplota je  $\sim 4200^{\circ}\text{C}$ .

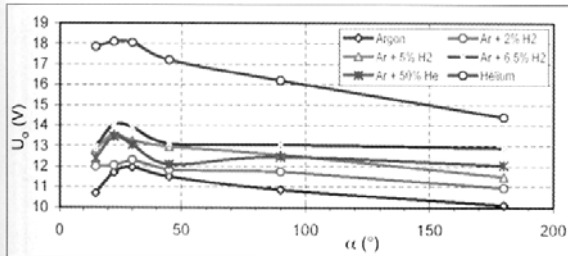
### Tvar hrotu volfrámových elektród

Treba zdôrazniť, že tvar hrotu W elektród významne vplýva na tvar oblúka a tým na šírku, hĺbku a tvar závaru. Pri zváraní jednosmerným prúdom uhol hrotu elektródy je funkciou intenzity prúdu, napr. podľa odporúčania firmy Trafimet je pre prúd I = 5 až 10 A vhodný uhol  $\alpha = 20^{\circ}$ ; pre I = 10 až 20 A  $\rightarrow \alpha = 30^{\circ}$ ; pre I = 20 až 100 A  $\rightarrow \alpha = 60^{\circ}$  až  $90^{\circ}$ ; pre I = 100 až 200 A  $\rightarrow \alpha = 90^{\circ}$  až  $120^{\circ}$ . Koniec hrotu elektródy treba otupiť. Tým zabráníme prúdovému pretáženiu hrotu, jeho odtaveniu a vzniku volfrámových vtrúsení vo zvarovom kove. Odporúčané rozmery hrotov a otupenia pre rôzne prievery W elektród sú na obr. 1.

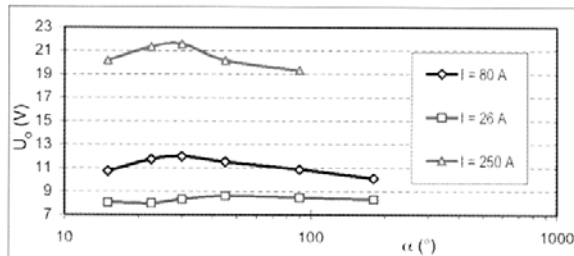
V odbornej literatúre sú protichodné údaje o vplyve uhlia hrotu elektródy na tvar húsenice. Podľa niektorých prameňov [3] pri zmenšovaní uhlia hrotu sa zväčší hĺbka závaru a zmenší sa šírka húsenice, iní predpovedajú

Tab. 2. Ochranné a formovacie plyny firmy Linde na TIG zváranie  
Tab. 2. Shielding and forming gases for TIG welding from Linde Co.

Názov plynu / Type of gas	Označenie podľa DIN 439 / Designation according to DIN 439	Chemické zloženie (%) / Chemical composition (%)				
		Ar	O <sub>2</sub>	He	N <sub>2</sub>	H <sub>2</sub>
<b>Na zváranie / For welding</b>						
Argón / Argon	I 1	100				
Hélium / Helium	I 2			100		
Varigon S	M 13	zbytok / residue	0,03			
Varigon He 30	I 3	70		30		
Varigon He 50	I 3	50		50		
Varigon He 70	I 3	30		70		
Varigon He 30 S	M 13 (1)	zbytok / residue	0,03	30		
Varigon H 2	R 1	98				2
Varigon H 5	R 1	95				5
Varigon H 6	R 1	93,5				6,5
Varigon H 10	R 1	90				10
Varigon H 15	R 1	85				15
Varigon H 20	R 2	80				20
<b>Na ochranu koreňa zvaru / For root protection</b>						
Dusík N <sub>2</sub> / Nitrogen	F 1				100	
Formovací plyn 95/5 / Forming gas 95/5	F 2				95	5
Formovací plyn 90/10 / Forming gas 90/10	F 2				90	10
Formovací plyn 85/15 / Forming gas 85/15	F 2				85	15
Formovací plyn 80/20 / Forming gas 80/20	F 2				80	20



**Obr. 4.** Vplyv veľkosti uhla  $\alpha$  hrotu W elektródy  $\alpha$  a druhu ochranného plynu na napätie oblúka  $U_o$ .  
**Fig. 4.** Effect of size of angle  $\alpha$  of W electrode tip  $\alpha$  and type of shielding gas on arc voltage  $U_o$ .



**Obr. 5.** Vplyv uhla  $\alpha$  hrotu W elektródy a intenzity prúdu na napätie oblúka  $U_o$ .  
**Fig. 5.** Effect of angle  $\alpha$  of W electrode tip and current intensity on arc voltage  $U_o$ .

opačný účinok, tak ako je znázornené na obr. 2 [10].

Pri tom literatúra neuvádzá potrebné údaje o skúškach, ako veľkosť zváracieho prúdu a vlastnosti ochranného plynu. Naopak, jednoznačná je zhoda údajov o vplyve akosti povrchu W elektród: čím je menšia dĺžnosť povrchu brúsených častí hrotu, tým je dlhšia životnosť elektród. Priaznivý vplyv má aj to, ak sú ryhy po brúsení v smere osi elektródy.

Priemer elektródy sa má vždy stanoviť v závislosti od druhu a intenzity prúdu a od legovania elektródy. Bolo by účelné aj tu zohľadniť vplyv ochranného plynu, ale takéto údaje sa nenašli. Pri veľmi malom priemere W elektródy je táto preťažená a rýchlejšie sa opotrebuje. Použitie elektródy väčšieho priemera ako je potrebné nie je tiež účelné, nakoľko oblúk v dôsledku malého prúdového zataženia elektródy putuje na hrote elektródy a tým bráni tvorbe spoja dobrej kvality.

Putujúci oblúk môže vytvoriť miestne prúdové preťaženie elektródy, čím sa zvyšuje opotrebenie a môžu vzniknúť volfrámové vtrúseniny v zvarovom kove. Pri zváraní striedavým prúdom sa hrot elektródy opálí do pologuľovitého tvaru. Vzniklý oblúk sa rozptyluje na pologuľovitom hrote a tak so striedavým prúdom nemožno zhotoviť spoj správneho tvaru a dobrej kvality.

### Ochranné plyny na TIG zváranie

Pri TIG zváraní v ochrane inertného plynu má ochranný plyn štyri úlohy:

- chrániť W elektródu a roztavený zvarový kov od škodlivého vplyvu vzduchu,
- v dôsledku nízkeho ionizačného potenciálu napomáha zapáleniu a znovuzapaľovaniu oblúka,
- zabezpečovať vytvorenie plazmy oblúka, ktorej tepelný obsah a tepelná vodivosť napomáha vytvoriť roztavený kov zo základného a prídavného materiálu,
- pri použíti pištole s plynovým chladením chladíť W elektródu a vnútorné časti pištole.

Výber ochranného plynu z tých, ktoré sú na trhu, sa má robiť z hľadiska uvedených požiadaviek. Prehľad ochranných plynov, vrátane plynov na ochranu koreňa, od firmy Linde je v tab 2.

Rôzne plyny, resp. zmesi plynov vplývajú rozdielne spôsobom na vlastnosti zváracieho oblúka a zvarového kova spoja [11 – 18].

**Argón** je najrozšírenejší vzácny plyn na trhu. Má

veľmi nízky ionizačný potenciál (15,76 eV), preto je oblúk v atmosfére Ar stabilný a ľahko sa zapáľuje. Má však nízku vodivosť tepla. Vyrába sa postupným odparovaním vzduchu, čo je pomerne lacný postup. Na zváranie sa odporúča použiť Ar s čistotou min. 4.6.

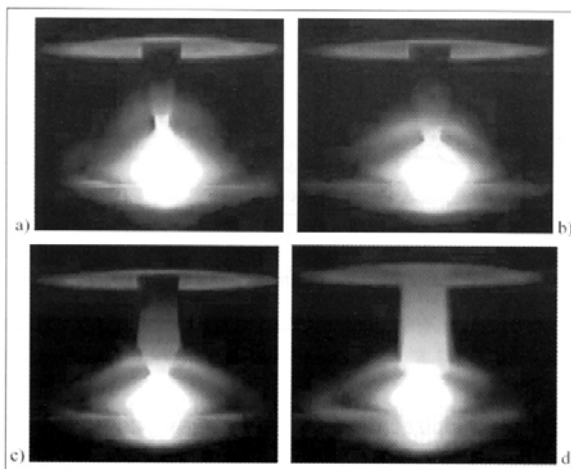
**Hélium** je pomerne drahý plyn, preto sa v Európe málo používa. Používa sa najmä na zváranie ľahkých kovov. Má vysoký ionizačný potenciál (24,59 eV), pre dobrú tepelnú vodivosť vytvára veľkú hustotu energie a väčší závar. V dôsledku toho na okrajoch zvarov zhotovených v atmosfére He vzniká hrubá oxidická vrstva. Má nižšiu hustotu, preto pri zváraní „do žliabku“ treba použiť väčší prietok plynu. Má zlý vplyv na zapaľovanie oblúka. Vplyv rôzneho obsahu He a H<sub>2</sub> na geometriu zvaru/závaru znázorňuje obr. 3.

**Vodík H<sub>2</sub>** je redukčný plyn, pridáva sa max. 20 % H<sub>2</sub> k argónu. Zvyšuje napätie oblúka a tepelnú vodivosť plynu, v dôsledku toho zváčšuje závar. Pri zváraní feritickej oceli zvyšuje náchylnosť na vznik vodíkom indukovaných trhlín. Austenitické ocele sú odolnejšie proti účinku H<sub>2</sub> a pre väčšiu deformovateľnosť dobre znášajú prítomnosť H<sub>2</sub>. Pri použíti H<sub>2</sub> treba venovať pozornosť obsahu  $\delta$ -feritu, ktorý spravidla neprevyši 10 %. Pritomnosť aj malého obsahu kyslíka O<sub>2</sub> môže spôsobiť tvorbu pôrov.

**Kyslík O<sub>2</sub>** je aktívny plyn so silne oxidačným účinkom. Používa sa preto, že už aj malé množstvo O<sub>2</sub> znižuje povrchové napätie roztaveného kova. Použitie O<sub>2</sub> pri TIG zváraní nie je charakteristické, lebo výrazne zvyšuje opotrebenie W elektród pri žhaviacej teplote v rozmedzí 3 400 až 4 200 °C. Výimočne sa používa pri zváraní striedavým prúdom primiešaním niekolko % O<sub>2</sub> do ochranného plynu.

**Dusík N<sub>2</sub>** sa spravidla používa na ochranu koreňa. Z hľadiska zvárania sa správa ako inertný plyn, ale pri rozpustení sa v oceli môže spôsobiť problémy. Obzvlášť sa to prejaví pri zváraní duplexných ocelí, kde obsah  $\delta$ -feritu výrazne závisí od obsahu N<sub>2</sub> v ochrannom plyne, dusík N<sub>2</sub> je austenitotvorný prvk. Pri zváraní stabilizovaných austenitických ocelí môže nastat žlto-zlaté zafarbenie koreňovej časti, vznikom TiN.

Pre TIG zváranie sa používa v Maďarsku temer výlučne argón Ar. Len podniky s väčším zváračským potenciáлом používajú zmesi plynov a využívajú ich priaznivé účinky.



**Obr. 6.** Tvar oblúka v ochrannom plyne Ar pre rôzny uhol  $\alpha$  hrotu W elektródy: a)  $\alpha = 22,5^\circ$ ; b)  $\alpha = 30^\circ$ ; c)  $\alpha = 45^\circ$ ; d)  $\alpha = 90^\circ$

Intenzita prúdu:  $I = 80 \text{ A}$ , vzdialenosť hrotu elektrody  $h = 2 \text{ mm}$ , priemer W elektródy  $d = 2,4 \text{ mm}$

**Fig. 6.** Arc shapes in Ar shielding gas for different angle  $\alpha$  of W electrode tip a)  $\alpha = 22,5^\circ$ , b)  $\alpha = 30^\circ$ , c)  $\alpha = 45^\circ$ , d)  $\alpha = 90^\circ$   
Current intensity:  $I = 80 \text{ A}$ , electrode tip distance  $h = 2 \text{ mm}$ , W electrode diameter  $d = 2,4 \text{ mm}$

### Údaje o experimentálnych prácach a skúškach

Experimenty sa zamerali na sledovanie vplyvu dvoch parametrov na geometriu závru: zloženie ochranného plynu a uhol hrotu W elektródy. Ostatné parametre zvárania sa pri skúškach nemenili. Prehľad premenných parametrov je v tab. 3 a stálych parametrov je v tab. 4.

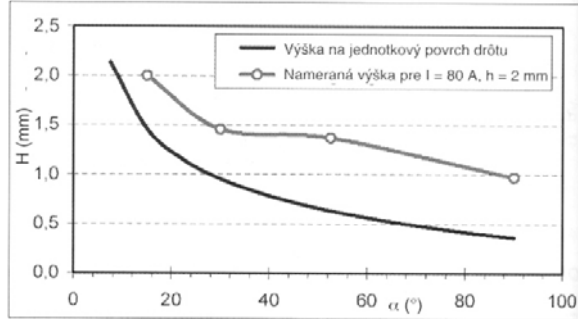
Hlbka a šírka závru na skúšobných vzorkách sa stanovovali na rezoch (makroštruktúre) pod mikroskopom. Pri stanovovaní hlbky a šírky sa do plochy roztaveného kovu zahrnula plocha až po hranicu natavenia.

Vplyv tvaru hrotu W elektródy sa v literatúre hodnotí rôznym spôsobom a dá sa predpokladať, že je to dôsledok rozdielnej veľkosti prúdu použitého pri experimentoch rôznymi autormi. Preto pri základnej sérii skúšok s Ar okrem štandardného prúdu 80 A sa použil aj vyšší prúd 250 A a podstatne nižší prúd 26 A. Samozrejme pôvodne stále – konštantné parametre sa museli prispôsobiť zmeneným zváracím prúdom, aby sa vyhotobil hodnotiteľný závar. Cieľom týchto sérií skúšok nebolo, aby získané údaje boli porovnateľné s výsledkami základného výskumu. Napriek tomu umožňujú vytvoriť dostatočne hodnoverný názor, že vplyv uhla hrotu elektrody na geometriu závru má rovnaký charakter.

**Tab. 3.** Premenné parametre pri skúškach

**Tab. 3.** Variable parameters at tests

Zloženie ochranného plynu / Chemical composition of shielding gas	Uhol $\alpha$ hrotu W elektród ( $^\circ$ ) / Angle $\alpha$ of tip of W electrodes ( $^\circ$ )
Argón / Argon	15
Argón + 2,0 % $H_2$	22,5
Argón + 5,0 % $H_2$	30
Argón + 6,5 % $H_2$	45
Argón + 10 % $H_2$	90
Argón + 50 % $H_2$	180
Hélium / Helium	pologuľový / hemispherical



**Obr. 7.** Rozmer aktívnej výšky W elektródy  $H$  (mm) vzťahujúci sa na jednotkový povrch hrotu

**Fig. 7.** Size of W electrode active height  $H$  (mm) related to unit electrode surface in dependence on angle  $\alpha$  of electrode tip

Výška na jednotkový povrch hrotu – Height related to unit tip surface, Nameraná výška pre  $I = 80 \text{ A}, h = 2 \text{ mm}$  – measured height for  $I = 80 \text{ A}, h = 2 \text{ mm}$

tródy na geometriu závru pri použití malého a veľkého prúdu má rovnaký charakter.

Parametre zvárania platní/plechov hrubých 3 mm, resp. pri doplnkových skúškach platní hrubých 2 mm a 8 mm sa stanovili overovacimi skúškami. Kritériom pre voľbu parametrov zvárania bolo dostať čo najhlbší závar bez prehľbeného povrchu závru.

Skúšky sa robili v laboratóriach Linde Gáz Magyarországh Rt., Budapest. Zdrojom prúdu bol inverter ESAB Aristotic LUC 500. Stabilitu rýchlosťi zvárania zabezpečovalo špeciálne zariadenie. Uhol hrotu W elektród vytvárali brúsením v BME ATT (Technická univerzita, Budapešť). Skúšobné vzorky sa upínali v špeciálnom prípravku. Meranie napäťia oblúka sa robilo multimetrom po odpojení vysokofrekvenčného zapáľovania.

Metalografické skúšky sa robili v metalografickom laboratóriu BME ATT. Na delenie materiálu sa použilo plazmové rezanie, okružná pila, nožnice na plech a rezaci kotúč. Po plazmovom rezanií sa mechanickým obrábaním odstránila 3 mm vrstva, plátky tenšie ako 8 mm sa zalievali do epoxidu. Vzorky sa po brúsení a leštení povrchu naleptali v roztoku  $CuCl_2$ , kyseliny chlorovodíkovej a alkoholu. Zo všetkých metalografických vzoriek sa zhotovili digitálne snímky, ktoré sa vyhodnocovali počítačom.

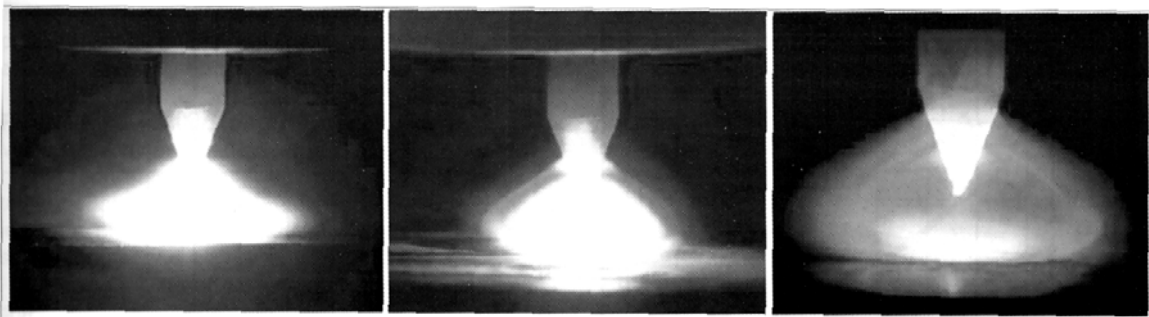
### Hodnotenie výsledkov skúšok

#### Napätie oblúka

Závislosť napäťia oblúka  $U_o$  od uholu hrotu W elektródy  $\alpha$  pre rôzne ochranné plyny je na obr. 4. Všetky závislosti vykazujú určitú medznú hodnotu, pri prúde 80 A je to pri hodnote  $\alpha$  medzi  $22,5^\circ$  a  $30^\circ$ . Tento trend len málo závisí od zloženia ochranného plynu. Prímes hélia He alebo vodíka  $H_2$  v ochrannom plyne zvyšuje napätie oblúka. To možno vysvetliť vyšším ionizačným potenciáhom primiešaných plynov a tomu zodpovedajúcemu nižšiemu podielu iónov v oblúku.

Podobné priebehy kriviek dostaneme pre rôznu intenzitu prúdu, ale pri nižšom prúde sú krivky posunuté doprava, pri vyššom prúde mierne doľava, ako je to znázornené na obr. 5 (logaritmická os x).

Táto tendencia je pochopiteľná, zmenšenie uholu hrotu



Obr. 8. Vplyv ochranného plynu na tvar stĺpca oblúka (v poradí zľava: Ar; Ar + 2 % H<sub>2</sub>; He)  
Fig. 8. Effect of shielding gas on arc column shape (in the order from the left: Ar; Ar + 2 % H<sub>2</sub>; He)

elektródy vedie k vzrastu napäťia oblúka, nakoľko na dosiahnutie danej intenzity prúdu je potrebná určitá časť emitujúceho povrchu. Zmenšovaním uhla hrotu sa časti tohto povrchu vzdialujú od zváraného materiálu. To spôsobí „kvázi“ vzrast dĺžky oblúka. Dlhší oblúk v danom rozsahu intenzity prúdu vyžaduje vyššie napätie. Pre jednotkovú intenzitu prúdu, W elektródu s uhlohom hrotu  $\alpha$  a plochou povrchu A možno vyjadriť výšku pôsobenia oblúka H (aktívna výška hrotu elektródy) vzťahom (1):

$$H = \sqrt{\frac{A}{\pi \cdot \operatorname{tg} \frac{\alpha}{2} \left[ (\cos \frac{\alpha}{2})^{-1} + \operatorname{tg} \frac{\alpha}{2} \right]}} \quad (1)$$

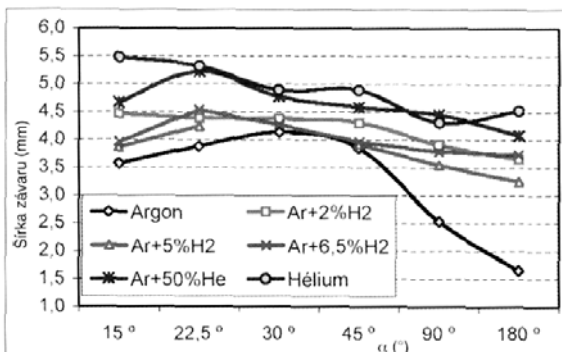
Namerané údaje sa stanovili zo vzhladu oblúka podľa obr. 6 a sú zhruňte na obr. 7.

Pokles napäťia možno vysvetliť menším prierezom pre odvod tepla a poklesom krivosti „siločiar“ oblúka (izopotenciálu – čiar s rovnakou hodnotou teploty oblúka, resp. innej elektrickej alebo fyzikálnej charakteristiky oblúka, pri elektróde smerujú kolmo na povrch kužeľa hrotu elektródy, vytvárajúceho oblúk). Pri vyšších teplotách úlohu elektrických silových polí čiastočne prevezme termoemisia elektrónov. V dôsledku rastúcej teplotnej rozpinavosti elektród emitujúce povrhy sa približujú k zváranému dielu – tým klesá dĺžka oblúka. Poklesom krivosti rastie povrchová hustota nosičov náboja a tým lokálne aj intenzita elektrického poľa. Tak na udržanie daného prúdu elektrónov stačí aj nižšie zváracie napätie.

Túto teóriu podopiera aj zistenie, že pri nižšej intenzite prúdu sa posúvajú krivky dopravy. Tu totiž priemery použitých W elektród boli podstatne menšie. Opísaný jav je založený na členení vodičov vysokého napäťia 750 kV, za účelom zmenšenia prenosových strát.

#### Šírka závaru

Medzi napätim oblúka a šírkou závaru je úzka súvislosť. Pri zvyšovaní napäťia oblúka elektróny vystupujúce z katódy dosiahnu anódou (zváraný materiál) len po prekonaní väčszej vzdialenosťi. Táto väčšia vzdialenosť zvyšuje možnosť strečania čiastočiek s negatívnym nábojom a neionizovanými atómami plynov. Zrážky častic v stĺpco oblúka spôsobujú rozptýlenie stĺpca do tvaru zvonca. Tak vytvorený oblúk s päťou veľkého priemeru nataví široký pás na povrchu materiálu (obr. 8). Komponenty plynov primiešaných k argónu vplyvom ich veľkého ionizačného potenciálu tiež zväčšujú podiel neionizovaných atómov v stĺpco oblúka, preto samy výrazne prispievajú tak k rozšíreniu stĺpca oblúka, ako aj k vzrastu odporu oblúka a tým aj napäťia oblúka (obr. 9).

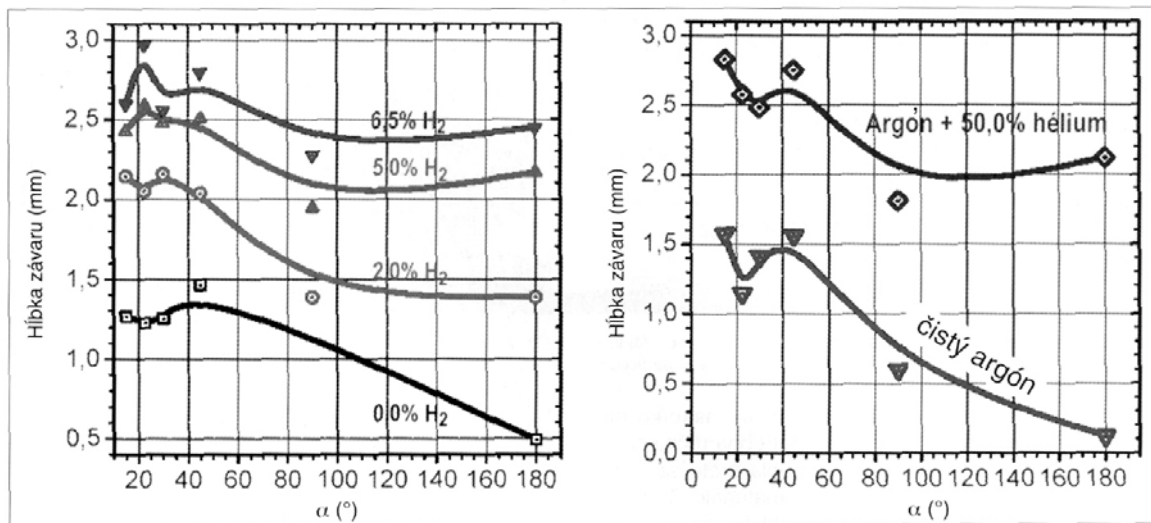


Obr. 9. Závislosť šírky závaru od veľkosti uhla  $\alpha$  hrotu W elektródy pre rôzne druhy ochranného plynu  
Fig. 9. Dependence of penetration width on the angle  $\alpha$  of W electrode tip for different types of shielding gas  
Šírka závaru (mm) – Penetration depth (mm)

zovaných atómov v stĺpco oblúka, preto samy výrazne prispievajú tak k rozšíreniu stĺpca oblúka, ako aj k vzrastu odporu oblúka a tým aj napäťia oblúka (obr. 9).

Tab. 4. Stále – konštantné parametre a sledované parametre pri skúškach  
Tab. 4. Constant parameters and studied parameters at tests

Stále parametre / Constant parameters	
Vlastnosti, rozmery a počiatocná teplota základného materiálu / Properties, dimensions and initial temperature of parent metal	
Zvárací prúd / Welding current	
Rýchlosť zvárania / Welding speed	
Prietok ochranného plynu / Shielding gas flow	
Priemer a materiál elektródy / Diameter and material of electrode	
Vzdialenosť hrotu elektródy od základného materiálu / Distance between electrode tip and parent metal	
Výlet hrotu elektródy z keramického puzdra / Stick-out of electrode tip from ceramic case	
Veľkosť otupenia/bez otupenia / Size of tapering/without tapering	
Plocha prierezu keramického puzdra pre prívod plynu / Cross-section area of ceramic case for gas supply	
Uhol sklonu pištole proti smeru zvárania / Inclination angle of gun against welding direction	
Sledované parametre / Studied parameters	
Napätie oblúka / Arc voltage	
Hĺka závaru / Penetration depth	
Plocha prierezu závaru/roztaženého kovu / Cross-section area of penetration/molten metal	
Šírka závaru / Penetration width	
Celkový tvarový súčinatel $\psi$ / Total shape factor $\psi$	



Obr. 10. Závislosť hĺbky závaru od uhla  $\alpha$  hrotu W elektródy pre rôzne druhy ochranného plynu (vľavo argón + vodík, vpravo čistý argón a zmes Ar + 50 % He)

Fig. 10. Dependence of penetration depth on angle  $\alpha$  of W electrode tip for different types of shielding gas (on the left argon + hydrogen, on the right pure argon and Ar + 50 % He mixture)

Hĺbka závaru (mm) – Penetration depth (mm). Čistý argón – Pure argon

Údaje, odlišné od očakávaných, dali len vzorky zvárané v ochrane argónu Ar. Príčinou bolo zabortenie platní hrubých 6 mm zváraných pri opakovanej skúške. Namerané údaje napäť tak tiež vykazovali väčšie výkyvy.

Zniženie napäť možno vysvetliť zmenšením prierezu odvádzajúceho teplo a poklesom krivosti „siločiar“ vytvárajúcich oblúk. Pri vyšších teplotách úlohu elektrického silového pola prevezme termické budenie. Vplyvom zváčšovania teplotnej rozložnosti elektród emitujúce povrchy sa posúvajú bližšie k zváranému materiálu – tým sa skráti dĺžka oblúka. Zmenšením krivosti „siločiar“ sa zvyšuje povrchová hustota nosičov náboja a tým lokálne aj elektrické silové pole. Tak na zachovanie daného prúdu elektrónov stačí nižšie zváracie napätie.

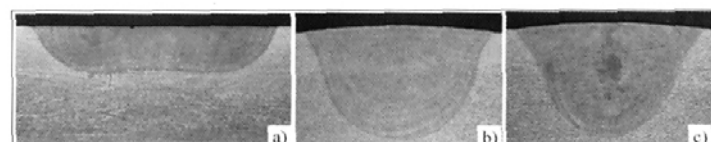
### Hĺbka závaru

Pri zváraní vzoriek na skúmanie vplyvu ochranných plynov sa použila rovnaká intenzita prúdu – stanovené rozdielne hĺbky závarov vznikli vplyvom zmeny uhla hrotu elektródy a ochranných plynov. Prvoradú úlohu pri tvorbe hĺbky závaru má merné teplo ochranného plynu, ďalej jeho tepelná vodivosť a schopnosť prenosu tepla. Súhrn údajov zmeraných hĺbek závarov na metalografických výbrusoch je na obr. 10. Údaje sa vzťahujú na čistý argón (vpravo dole) a na zmes argónu s prídomkom vodíka H<sub>2</sub> (vľavo), resp. hélia He (vpravo hore).

Dalo sa očakávať, že pri použití zmesi plynov hĺbka závaru výrazne vzrástie. V oblasti uhlov hrotu  $\alpha = 15^\circ$  až  $45^\circ$  sa hĺbka závaru podstatne nemení. Pri uhloch nad  $45^\circ$  hĺbka závaru prudko poklesne. Pri použití ochranných plynov Ar, resp. He závar sa splošti často do tvaru, ako by pozostával z dvoch paralelných húseníc – obr. 11a. Pri zvyšovaní obsahu vodíka H<sub>2</sub> sa sploštenie zmierňuje (obr. 11b a 11c).

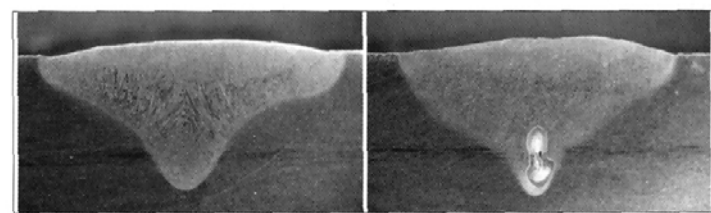
Tento jav nemožno vysvetliť len poklesom zváracieho napäcia, lebo hĺbka závaru sa nezmenšila ani pri uhle  $15^\circ$  (a menšom napäti). Pri použití väčších zváracích prúdov možno pozorovať väčšie zmeny tvaru závaru. V rozmedzí uhlov hrotu  $\alpha = 22,5^\circ$  a  $30^\circ$  je hĺbka závaru v osi symetrie podstatne väčšia ako bezprostredne vedľa (obr. 12).

Tvary závarov na obr. 12 sú z hľadiska tvorby spojov škodlivé, zvyšuje sa nebezpečenstvo vzniku horúcich trhlín. Pri týchto uhloch hrotu elektródy je hĺbka závaru maximálna a pri použití väčších, ako aj menších uhlov  $\alpha$ , sa prudko



Obr. 11. Zmena tvaru závaru vplyvom rôzneho druhu ochranného plynu a) 100 % He,  $\alpha = 90^\circ$ , b) Ar + 5 % H<sub>2</sub>,  $\alpha = 15^\circ$ , c) Ar + 5 % H<sub>2</sub>,  $\alpha = 180^\circ$

Fig. 11. Change of penetration shape due to the effect of different type of shielding gas a) 100 % He,  $\alpha = 90^\circ$ , b) Ar + 5 % H<sub>2</sub>,  $\alpha = 15^\circ$ , c) Ar + 5 % H<sub>2</sub>,  $\alpha = 180^\circ$



Obr. 12. Tvary závaru pri použití prúdu  $I = 250$  A a čistého Ar

zmenšuje. Pri použití malých zváracích prúdov sa nedá prakticky stanoviť vplyv uhla hrotu W elektródy na hĺbkú závaru.

#### Plocha prierezu závaru – roztaveného kovu

Veľkosť plochy prierezu závaru úzko závisí od sledovaných dvoch parametrov: šírky a hĺbky závaru. Naproti tomu jednoduchý súčin týchto dvoch údajov poskytuje len hrubé priblženie, lebo jednotlivé tvary závarov sa od seba výrazne líšia.

Na obr. 13 je dobre pozorovateľná tendencia, že plocha závaru pri použití W elektródy s uhlom hrotu  $\alpha > 45^\circ$  výrazne klesá v dôsledku zmenšovania hĺbky závaru. Tieto závislosti sú podobné tým, ktoré sú na obr. 10, teda možno oprávnenne predpokladať, že plocha závaru závisí najmä od jeho hĺbky.

Jedine pri použití prúdu  $I = 250$  A nastal posun maxima plochy závaru doprava k bodu zodpovedajúcemu uhlu  $45^\circ$ . To je pochopiteľné, lebo práve v úzkom intervale uhlav hrotu elektródy  $\alpha = 22,5^\circ$  a  $30^\circ$  vznikne úzka oblasť závaru, ako to ukazuje obr. 12.

#### Súčinatel' celkovej geometrie závaru/húsenice

Pri posudzovaní nebezpečenstva vzniku kryštalačných trhlín po posúdení chemického zloženia základného a prídavného materiálu, najdôležitejším činiteľom je tvar – geometria závaru. Preto tento vplyv nemožno zanedbať. Nakoľko pri zhotovovaní vzoriek závarov sa nepoužíval prídavný materiál tvaru tyčinky alebo drôtu, preto možno použiť na vyjadrenie geometrie závaru šírku B a celkovej výšky H súčinatel'  $\psi$  podľa vzťahu

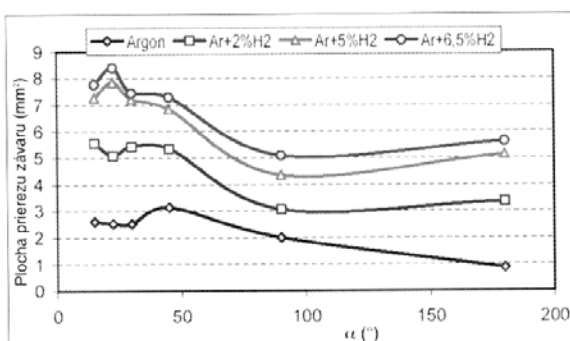
$$\psi = B/H \quad (2)$$

Ani príliš veľké ani príliš malé hodnoty súčinatelia  $\psi$  nie sú priaznivé. Pri zváraní spojov vysoké  $\psi$  znamená nízku efektívnosť, vysokú medzhúsenicovú teplotu a zhrubnutie zrín a vznik škodlivých segregácií. Pri nízkej hodnote  $\psi$  vzrástá nebezpečenstvo vzniku kryštalačných trhlín. Pri stanovení správnej hodnoty súčinatelia  $\psi$  treba zvoliť (s ohľadom na daný materiál, technológiu a tvar konštrukcie) najmenšiu hodnotu  $\psi$ , pri ktorej možno spoľahlivo vylúčiť vznik horúcich trhlín. To však neplatí pri naváraní, tam je výhodné použiť vyššiu hodnotu  $\psi$ .

Spracovaním tu uvedených údajov možno odvodiť, že pri použití ochranného plynu Ar pre požadovanú minimálnu hodnotu  $\psi$  sú hodnoty prúdu a uhlia hrotu W elektródy  $\alpha$  tieto:

$I$ (A)	26	80	250
$\alpha$ ( $^\circ$ )	22,5	15 a 45	15 a 90

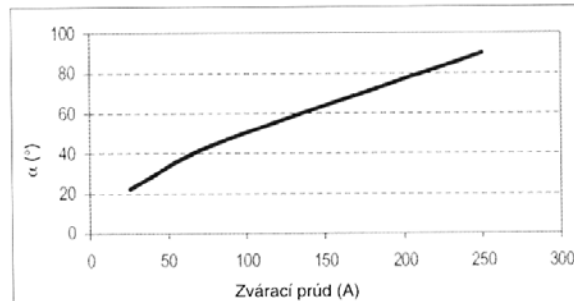
Medziľahle hodnoty sú väčšie ako tu uvedené. Z toho a z posúdenia tepelného zataženia od veľkého prúdu možno ľahko odvodiť aké sú ideálne uhly hrotu elektródy pre dané veľkosti intenzity prúdu (obr. 14). Prekročením optimálnych hodnôt sa výrazne zhorší súčinatel' tvaru závaru. Výhodou zvárania v zmesi plynov je, že tieto úkazy sú sotva pozorovateľné.



Obr. 13. Závislosť plochy závaru od uhlia  $\alpha$  hrotu W elektródy pre ochranné plyny s rôznym obsahom vodíka  $H_2$

Fig. 13. Dependence of penetration area on angle  $\alpha$  of W electrode tip for shielding gases with different hydrogen  $H_2$  content

Plocha prierezu závaru (mm²) – Penetration cross-section area (mm²)



Obr. 14. Odporúčané hodnoty uhlia  $\alpha$  hrotu W elektródy v závislosti od intenzity zváracieho prúdu (ochranný plyn Ar)

Fig. 14. Recommended values of angle  $\alpha$  of W electrode tip in dependence on welding current intensity (Ar shielding gas)

Zvárací prúd (A) – Welding current (A)

#### Záver

Závody vyrábajúce priemyselné plyny poskytujú pomerne veľké množstvo údajov o vlastnostiach ochranných plynov a zmesí plynov pre zváračských odborníkov. Aj o materiáloch W elektród poskytujú výrobcovia množstvo údajov. Pomerne málo informácií je však o vplyve tvaru hrotu elektródy na zváranie. To totiž nie je predmetom obchodných aktivít.

Uhlo hrotu W elektródy má však významný vplyv na tvorbu tvaru závaru. Zmenou tvaru hrotu elektródy sa menia aj rozmery závaru od desať do niekoľko sto percent. Prítom stanovenie správnych parametrov zvárania sa prejaví tak v oblasti výrobných nákladov, ako aj kvality konštrukcie. Preto je nutné, aby aj stanovenie tvaru hrotu W elektródy bolo zaradené medzi zodpovedne stanovené a optimalizované parametre zvárania. Pri optimalizácii treba zohľadniť tieto činitele:

- súčinatel' tvaru závaru (vnútorný alebo celkový) a jeho minimálnu použiteľnú hodnotu pri zvarových spojoch,
- maximálnu životnosť W elektród,
- maximálnu bezpečnosť zapálenia a znovuzapaľovania oblúka,
- maximálnu produktivitu zvárania.

Najvhodnejšie parametre možno však stanoviť len kompromismi, lebo požiadavky sú často protichodné.

## ODBORNÉ ČLÁNKY

Stanovené hodnoty musia vychovávať aj vonkajším činielom, ktoré pri optimalizácii vystupujú ako okrajové podmienky (napr. nebezpečenstvo vzniku kryštalačných trhlín).

Ďalší výskum v tejto oblasti by sa mal zameriť na komplexné stanovenie vplyvu tvaru hrotu elektródy na proces zvárania.

Tento článok mal za cieľ upozorniť na význam tejto tematickej oblasti.

### Conclusions

*The plants manufacturing industrial gases provide relatively large amount of data on properties of shielding gases and gas mixtures for welding specialists. The manufacturers render also many data on materials of W electrodes. However, there exists a relatively little information about the effect of electrode tip shape on welding. This is namely not the subject of business activities.*

*However, the angle of cone for W electrode exhibits a significant effect on penetration shape formation. With change of electrode tip shape also the penetration dimensions are changed from ten to several hundred per cent. At the same time the assessment of correct welding parameters will be proved both in the field of manufacturing costs and structure quality. Therefore it is necessary to include also the assessment of W electrode tip shape among responsibly assessed and optimised welding parameters. The following factors should be considered in optimisation:*

- *weld shape factor (inner or total) and its minimum value in welded joints,*
- *maximum service life of W electrodes,*
- *maximum arc ignition and reignition safety,*
- *maximum welding productivity.*

*However, the most suitable parameters can be determined only by compromises because the requirements are often contradictory. The determined values must satisfy also external factors which in optimisation act as marginal conditions (e.g. risk of solidification crack formation).*

*Further research in this field should be focused on complex assessment of the effect of electrode tip on welding process.*

*The aim of this paper was to point to the significance of this topic field.*

*Príspevok predniesli autori na XI. medzinárodnej zváračskej konferencii GTE-MHTE-DVS 23. až 26. augusta 2004 v Budapešti. Je preložený a publikovaný so súhlasom autorov.*

### Literatúra

- [1] Baránszki-Jób, I.: *Hegesztési kézikönyv* (Zváračská príručka). Műszaki Könyvkiadó, Budapest, 1985
- [2] Bödök, K.: *Az ötvözletlen, gyengén ötvözött és erősér ötvözött szerkezeti acélok korrozióállosága különös tekintettel azok hegeszthetőségére* (Korózna odolnosť nelegovaných, nízkolegovaných a vysokolegovaných konštrukčných ocelí s ohľadom na ich zvariteľnosť). Corweld Kft., Budapest, 1997
- [3] Gáti, J.: *Hegesztési zsebkönyv* (Zváračská príručka). Cokom Mérnökirodá Kft., Miskolc, 2003
- [4] Szombatfalvy, Á.: *A hőkezelés technológiája* (Technológia tepelného spracovania). Műszaki Könyvkiadó, Budapest, 1985
- [5] Tisza, M.: *Metallográfia* (Metalografia). Miskolci Egyetemi Kiadó, Miskolc, 2000
- [6] Artinger et al.: *Fémek és kerámiák technológiája* (Technológia kovov a keramických materiálov). Müegytemi Kiadó, Budapest, 1997
- [7] Gremsperger, G. – Marti, Gy – Rejtő, Z.: *Ívhégesztő áramforrások* (Zdroje pre oblúkové zváranie). Műszaki Könyvkiadó, Budapest, 1987
- [8] Zalesszkij, A. M.: *A villamos ív* (Elektrický oblúk). Műszaki Könyvkiadó, Budapest, 1968
- [9] Kientzl, I.: *A volfrámelektróda kopási folyamatának vizsgálata az AVI-hegesztésnél* (Skúmanie priebehu opotrebenia volfrámovej elektródy pri TIG zváraní). [Dizertačná práca]. BME MTAT, Budapest, 2002
- [10] <http://www.pro-fusionline.com/feedback/fc-dec99.htm>
- [11] <http://www.hodwelding.hu/technologiak.html>
- [12] <http://www.peterlutz.ch/lernen/werkstoff/metalle/nmet3k.html>
- [13] <http://www.seilnacht.tuttlingen.com/Lexikon/18Argon.htm>
- [14] [http://vilib.pmmf.hu/jegyzet/elektrom/emt\\_1\\_20.htm](http://vilib.pmmf.hu/jegyzet/elektrom/emt_1_20.htm)
- [15] Hegesztési védögázok (Ochranné plyny na zváranie). Linde Magyarország Rt.
- [16] Schutzgase zum Schweißen und Formieren von CrNi – Stählen. Linde Gas AG
- [17] MAG – Schweißen korrosionbeständiger Stähle. AGA Gas GmbH & Co.
- [18] Schweißen verbindet. Schweiß- Schneid- und Schutzgase. PanGas AG
- [19] EüM-SzCsM együttes rendelet a munkahelyek kémiai biztonságáról 25/2000 (IX. 30) (Spoločné nariadenie o bezpečnosti chemických pracovísk)



Váš dodávateľ technických plynov  
**WWW.messer.sk**

Messer Tatragas, s.r.o., tel.: 02/ 502 54 111, fax.: 02/502 54 112, e-mail: info@messer.sk

**MESSER**  
Messer Tatragas